

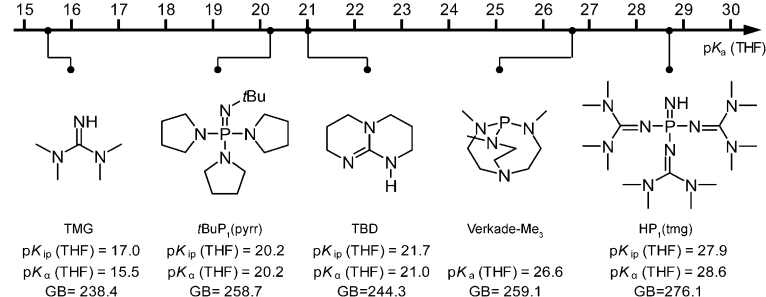
# Sehr starke Organosuperbasen durch Verknüpfung von Imidazol- und Guanidinbasen – Synthese, Struktur und Basizität\*\*

Katarina Vazdar, Roman Kunetskiy, Jaan Saame, Karl Kaupmees, Ivo Leito\* und Ullrich Jahn\*

In memoriam Detlef Schröder

**Abstract:** Neue Strukturmotive für Organosuperbasen, die leicht zugänglich sind und hohe Basizitäten aufweisen, sind für viele Bereiche der Chemie dringend notwendig. Wir berichten hier über die Synthese von *N,N'*-Bis(imidazolyl)guanidin-Basen (BIG-Basen). Ihre  $pK_a$ -Werte wurden zu 26.1–29.3 in THF bestimmt. Sie sind damit wahrscheinlich die stärksten phosphorfreien organischen Basen sowohl in Lösung als auch in der Gasphase. Rechnungen halfen bei der Bestimmung der strukturellen und elektronischen Faktoren, die zur beobachteten hohen Basizität beitragen.

Der Zugang zu ungeladenen Organosuperbasen, die eine hohe Basizität und Stabilität unter verschiedenen Reaktionsbedingungen und in vielfältigen Reaktionsmedien, zugleich aber eine geringe Nucleophilie aufweisen, ist eine nach wie vor ungelöste Aufgabe für die moderne organische Chemie.<sup>[1]</sup> Eine Reihe nichtmetallischer Superbasen wurde in der Vergangenheit vorgestellt (Abbildung 1). Dazu gehören Phosphazene (*t*BuP<sub>1</sub>(pyrr) oder HP<sub>1</sub>(tmg)),<sup>[2]</sup> Phosphatrane (Verkade-Me<sub>3</sub>),<sup>[3]</sup> Amidine<sup>[4]</sup> oder



**Abbildung 1.** Basizitäten einiger häufig genutzter Organosuperbasen in Tetrahydrofuran und in der Gasphase (GB in kcal mol<sup>-1</sup>): TMG,<sup>[8,9]</sup> *t*BuP<sub>1</sub>(pyrr),<sup>[2a,8]</sup> TBD,<sup>[8,9]</sup> Verkade-Me<sub>3</sub>,<sup>[1c,2a]</sup> HP<sub>1</sub>(tmg).<sup>[5c]</sup>

Guanidine (TMG oder TBD).<sup>[5]</sup> Ihre Anwendbarkeit in der organischen Synthese<sup>[6]</sup> und potenziell in industriellen Prozessen<sup>[1c,7]</sup> wurde für viele Beispiele demonstriert.

Diese Superbasen haben aber Nachteile wie hohe Toxizitäten und Preise, ungenügende Löslichkeiten in unpolaren organischen Lösungsmitteln, konkurrierende hohe Nucleophilie sowie geringe Stabilität und Verträglichkeit mit funktionellen Gruppen. Dazu kommt, dass diese Basen oft nur über viele Stufen zugänglich sind, was ihre praktische Anwendbarkeit stark einschränkt.

Eine wichtige Aufgabe besteht daher darin, einfache und praktikable Wege zur Herstellung neuer hochbasischer organischer Verbindungen zu finden, die breit in verschiedenen Gebieten der Chemie anwendbar sind, aber keine der genannten Nachteile aufweisen. Ein Lösungsansatz wurde vor kurzem mit einem einfachen Zugang zu den lipophilen *N,N'*-Dialkyl-4,5-dimethylimidazol-2-ylidenamin-Organosuperbasen **A** aufgezeigt, die ein hervorragendes Fundament für die Entwicklung neuer hochbasischer Verbindungsklassen bilden (Schema 1).<sup>[10]</sup> Die ungewöhnlich hohe Basizität dieser Verbindungen in Lösung und in der Gasphase ist sowohl durch den Gewinn an Aromatizität als auch durch den signifikanten Abbau sterischer Wechselwirkungen der Substituenten bei der Protonierung der Basen **A** bedingt.

Durch Verknüpfung mit dem für Organosuperbasen etablierten Guanidin-Gerüst **B** wird das Imidazolimin-Strukturelement **A** nun zu einer Basis für die Herstellung von *Bis-N,N'*-(1,3-dialkyl-4,5-dimethyl-1*H*-imidazol-2(3*H*)-yliden)guanidin-Basen (BIG-Basen) **1**; Ziel war es zu untersuchen, ob auf diese Weise ein qualitativer Anstieg der Basizität erreicht werden kann. Die experimentell bestimmte Basizität von **1** erweist sich in der Tat als signifikant höher als jene der Basen **A** und **B**, deren  $pK_a$ -Bereich in THF 17–23 bzw. 15–20 beträgt ( $pK_a$  = geschätzte Basizität des freien Ions). Die ex-

[\*] Dr. K. Vazdar, Dr. R. Kunetskiy, Dr. U. Jahn

Institut für Organische Chemie und Biochemie  
Akademie der Wissenschaften der Tschechischen Republik  
Flemingovo nam. 2, 16610 Prag 6 (Tschechische Republik)  
E-Mail: jahn@uochb.cz

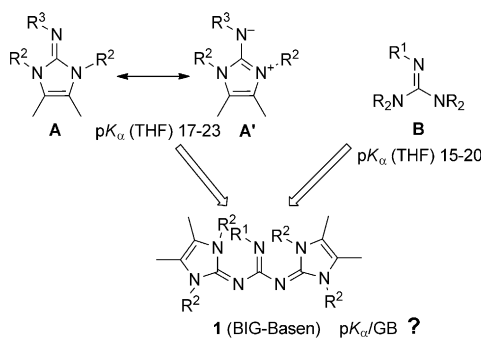
Homepage: <http://www.uochb.cz/web/structure/616.html>

Dr. K. Vazdar  
Laboratorium für Synthese und Selbstorganisation organischer Moleküle  
Abteilung für Physikalische Chemie, Rudjer Boskovic Institut Bijenicka c. 54, 10000 Zagreb (Kroatien)

M. Sc. J. Saame, M. Sc. K. Kaupmees, Prof. Dr. I. Leito  
Universität Tartu, Institut für Chemie  
Ravila 14a, 50411 Tartu (Estland)  
E-Mail: ivo.leito@ut.ee  
Homepage: <http://tera.chem.ut.ee/~ivo/RD.html>

[\*\*] K.V., R.K. und U.J. danken dem Institut für Organische Chemie und Biochemie der Akademie der Wissenschaften der Tschechischen Republik für die großzügige Finanzierung dieser Arbeit (RVO: 61388963). Die Arbeiten der Autoren aus Tartu wurden durch das ETF-Projekt 9105 des Estnischen Wissenschaftsfonds, das Projekt SF0180061s08 des Estnischen Ministeriums für Bildung und Wissenschaft und durch das Exzellenzzentrum der Universität Tartu „High-Technology Materials for Sustainable Development“ (SLOKT117T) gefördert.

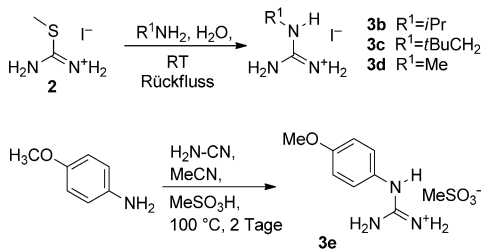
Hintergrundinformationen zu diesem Beitrag sind im WWW unter <http://dx.doi.org/10.1002/ange.201307212> zu finden.



**Schema 1.** Auf den Strukturmotiven **A** und **B** basierender Entwurf für neue Organosuperbasen **1**.

perimentellen Befunde werden durch Rechnungen gestützt und ermöglichen die Einordnung der Basen in einen allgemeineren Rahmen.

Die Synthese der BIG-Basen **1** ist einfach und konvergent. Die zentralen Guanidinbausteine **3b-d** wurden durch die Reaktion von Alkylaminen mit Methylisothiouroniumiodid (**2**) erhalten (Schema 2). Das Guanidiniumsalz **3e** wurde einfacher durch Umsetzung von *p*-Anisidin, Cyanamid und Methansulfonsäure hergestellt. Die so erhaltenen, rohen

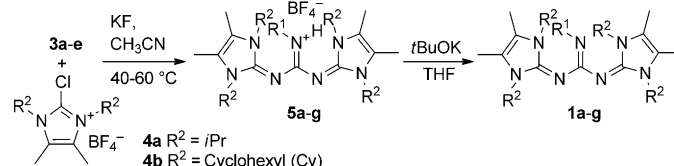


**Schema 2.** Herstellung der Guanidinumsalze **3 b–e**.

Guanidiniumsalze **3b–e** waren rein genug, um sie direkt für die nächste Stufe einzusetzen.

Die Chlorimidazoliumsalze **4a** und **4b** wurden wie zuvor beschrieben in drei Stufen hergestellt<sup>[10]</sup> und sodann mit käuflichem Guanidiniumchlorid (**3a**) oder den Salzen **3b–e** in Gegenwart von Kaliumfluorid zur Reaktion gebracht (Tabelle 1). KF spielte dabei einerseits die Rolle als starke Base zur Deprotonierung der Salze **3** und andererseits als Reagens zur Umwandlung der 2-Chlorimidazoliumsalze in die 2-Fluorimidazoliumsalze, die die besseren Elektrophile sind. Die BIG-Hydrotetrafluoroborate **5a–g** wurden in 59–88 % Ausbeute isoliert (Tabelle 1). Die Basen **1a–g** wurden daraus in 74–

**Tabelle 1:** Herstellung BIG-Tetrafluoroborate **5a–g** sowie der BIG-Basen **1a–g**, ihre experimentellen Basizitäten in Lösung, berechneten Gasphasenbasizitäten und  $\Delta\text{NICS}(1)$ -Werte.



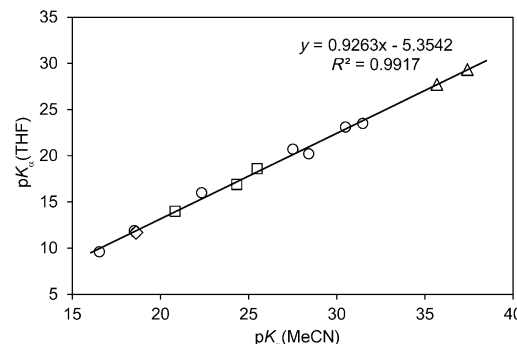
| Nr. | R <sup>1</sup>                             | R <sup>2</sup> | S (%) <sup>[a]</sup> | I (%) <sup>[b]</sup> | pK <sub>ip</sub> <sup>[c,d]</sup> | pK <sub>a</sub> <sup>[d]</sup> | GB [kcal mol <sup>-1</sup> ] | ΔNICS(I) <sup>[e]</sup> |
|-----|--|----------------|----------------------|----------------------|-----------------------------------|--------------------------------|------------------------------|-------------------------|
| 1   | H  | iPr            | a (88)               | a (94)               | 27.5                              | 27.8                           | 275.2                        | -1.44                   |
| 2   | H  | Cy             | b (74)               | b (75)               | 27.0                              | 27.8                           | 277.8                        | -1.93                   |
| 3   | iPr  | iPr            | c (68)               | c (83)               | 28.4                              | 29.2                           | 277.2                        | -1.65                   |
| 4   | iPr  | Cy             | d (61)               | d (83)               | 26.5                              | 27.7                           | 278.1                        | -1.35                   |
| 5   | tBuCH <sub>2</sub>                         | iPr            | e (59)               | e (95)               | 28.0                              | 29.0                           | 273.7                        | -1.71                   |
| 6   | Me   | iPr            | f (79)               | f (74)               | 28.5                              | 29.3                           | 276.6                        | -1.66                   |
| 7   | <i>p</i> -MeOC <sub>6</sub> H <sub>4</sub> | iPr            | g (65)               | g (96)               | 24.9                              | 26.1                           | 272.1                        | -1.38                   |

[a] Bedingungen: KF (32.0 mmol), **4a** oder **4b** (4.0 mmol), Guanidiniumsalz (2.0 mmol), RT oder 40–60°C. [b] Bedingungen: **5a–g** (0.47 mmol), tBuOK (0.58 mmol), –78°C → RT, 30 min. [c]  $pK_{1p}$  = Ionenpaarbasizität. [d] In THF.  $pK_a$  ist die geschätzte Basizität des freien Ions.<sup>[8]</sup> [e] NICS = nucleus-independent chemical shift.  $\Delta$ NICS(1) bezeichnet die Veränderung der Aromatizität bei Protonierung (je negativer der Wert, desto größer der Gewinn an Aromatizität).

96 % Ausbeute mit einem leichten Überschuss *t*BuOK in absolutem, entgastem THF freigesetzt.<sup>[11]</sup>

Tabelle 1 zeigt, dass die Basen **1a–g** in THF um ca. zehn Größenordnungen stärker als die gut bekannten Amidin- oder Guanidinbasen wie DBU oder 7-Methyl-1,5,7-triazbicyclo[4.4.0]dec-5-en sind<sup>[5c,8]</sup> und auch die Alkyl-P<sub>1</sub>- und Alkyl-P<sub>2</sub>-phosphazenen-Superbasen um einige Größenordnungen übertreffen.<sup>[5c,8]</sup> Die pK<sub>a</sub>-Werte von **1a–g** können zu 35–38 in Acetonitril abgeschätzt werden. Da die Basizitätsskala in Acetonitril nur bis zu einem pK<sub>a</sub>-Wert von 32 reicht, wurden diese Werte aus einer Korrelationsanalyse einer Reihe von Basen einschließlich solcher, die durch Protonierung sterisch abgeschirmte Kationen ergeben, durch Extrapolation erhalten (Abbildung 2).<sup>[12]</sup>

Die für **1a-g** in THF gemessenen Basizitäten und die berechneten Werte der Gasphasenbasizität (GB) folgen außer dem von **1e** in der Gasphase, für den wir gegenwärtig keine zufriedenstellende Erklärung haben, einem logischen Muster. Da die Größe des Moleküls in der Gasphase be-



**Abbildung 2.** Korrelationsanalyse der  $pK_a$ -Werte in THF gegen die  $pK_a$ -Werte in MeCN; ○ Phosphazene, □ Guanidine, ◇ 1,8-Bis(dimethylamino)naphthalin; △ **1d** und **1f**, für die es nur experimentelle  $pK_a$ (THF)-Werte gibt.

stimmend ist,<sup>[2a,13]</sup> haben alle Verbindungen, die Cyclohexylsubstituenten an den Imidazol-Ringstickstoffatomen tragen, höhere GB-Werte als die Isopropyl-substituierten Beispiele. In den Verbindungen mit  $R^2 = i\text{Pr}$  steigt die GB in der folgenden Reihenfolge der Substituenten am Iminstickstoffatom:  $t\text{BuCH}_2 < \text{H} < \text{Me} < i\text{Pr}$ . In Lösung verändert die Solvatisierung der protonierten Form der Base das Bild stark. Beide Verbindungen mit  $R^2 = \text{Cyclohexyl}$  (Cy) sind schwächere Basen als jene mit  $R^2 = i\text{Pr}$ , und die Basizität der Verbindungen mit Isopropylsubstituenten am Ring steigt nun in der Reihenfolge der Iminsubstituenten  $\text{H} < t\text{BuCH}_2 < i\text{Pr} < \text{Me}$ . Eine ähnliche Reihenfolge wurde schon früher für Alkylphosphazene beobachtet, bei denen Verbindungen mit Methyl- und Ethylgruppen am Iminstickstoffatom basischer sind als solche mit *tert*-Butylsubstituenten.<sup>[8]</sup> Die Base **1g** mit dem aromatischen Substituenten ist sowohl in THF als auch in der Gasphase schwächer, weil die freie Base eine Stabilisierung durch Resonanz erfährt, die bei der Protonierung verlorenginge.

Die Basen **1a–g** können als Guanidine betrachtet werden, in denen die Wasserstoffatome durch die Imidazol-2-yliden-Gruppe ersetzt wurde. Wird Tetramethylguanidin ( $pK_a = 15.5$ ;<sup>[14]</sup>  $\text{GB} = 238.4 \text{ kcal mol}^{-1}$ )<sup>[9]</sup> als Bezugsbase gewählt, steigert der Ersatz der Methylgruppen durch die Imidazol-2-yliden-Gruppen den  $pK_a$ -Wert um 12–14 Einheiten auf 27.7–29.3 in THF.

Die Basizitätssteigerung in der Gasphase ist noch eindrucksvoller – sie erreicht fast  $30 \text{ kcal mol}^{-1}$  und entspricht damit einer Steigerung um mehr als 20 Größenordnungen. Bei den vor kurzem eingeführten Imidazol-2-ylidenaminen **A**<sup>[10]</sup> beruht die hohe Basizität auf dem synergistischen Effekt der Aromatisierung des Rings und des signifikanten Abbaus sterischer Wechselwirkungen der sperrigen Substituenten am Imidazolring mit dem Iminsubstituenten bei Protonierung. Die Basen **1a–g** sind jedoch in Lösung um 7–9 Größenordnungen und in der Gasphase um 15 Größenordnungen basischer als **A**. Die Basen **1a–g** enthalten zwei Imidazoleinheiten, die sich einerseits weiter vom Basizitätszentrum entfernt befinden und andererseits im Bereich von  $26^\circ$  bis  $76^\circ$  aus der Ebene des Guanidinfragments gedreht sind (Diederwinkel und Geometrien der Basen siehe Tabelle S3 und Abbildungen S1 und S2 der Hintergrundinformationen). Daraus kann abgeleitet werden, dass der Grad der Aromatisierung der Imidazolringe bei Protonierung geringer ist als der in den Basen **A**.<sup>[10]</sup> Die  $\Delta\text{NICS}(1)$ -Werte (Tabelle 1)<sup>[15]</sup> zeigen, dass die Aromatisierung ein zur Basizität beitragender Faktor ist, jedoch korreliert das Ausmaß der Aromatisierung nicht mit der Basizität der Verbindungen. Der Abbau sterischer Spannung bei der Protonierung scheint ebenfalls keinen signifikanten Beitrag zur Basizität von **1a–g** zu leisten, da die Diederwinkel zwischen den Ebenen der Imidazolringe und der Guanidineinheit sowohl in den Salzen **5** als auch den Basen **1** verschieden von  $0^\circ$  sind.

Ein sicher stark zur Basizität beitragender Faktor ist das bloße Volumen der Basen **1**, das wesentlich größer ist als jenes der Basen **A**, wodurch bei Protonierung die Delokalisierung der positiven Ladung über ein wesentlich verlängertes konjugiertes System ermöglicht wird.

Die Basen **1a–g** mit  $pK_a$ -Werten von 26.1 bis 29.3 in THF sind die wahrscheinlich stärksten bisher bekannten organischen phosphorfreien Superbasen. Sie sind auf einfache Weise in nur vier Stufen aus wohlfeilen Ausgangsstoffen zugänglich. Außerdem sind sie stabil, lipophil und vergleichbar gute oder gar bessere Basen als die  $\text{P}_2$ -Phosphazene<sup>[2c]</sup> oder Kolomeitsevs Guanidinophosphazene.<sup>[5c]</sup> Das hier vorgestellte Strukturmuster macht weitere Forschungsarbeiten in verschiedenen Bereichen möglich, da diese Basen nicht nur als einfache Hilfsbasen in der organischen Chemie nützlich sein werden – sie können als Vorlage für die Herstellung chiraler Basen in der asymmetrischen Synthese oder zum Design Lewis-basischer Organokatalysatoren genutzt werden.

Eingegangen am 16. August 2013  
Online veröffentlicht am 13. Dezember 2013

**Stichwörter:** Basizität · Guanidinorganosuperbasen · Synthesemethoden · UV/Vis-Spektroskopie

- [1] a) D. Leow, C.-H. Tan, *Synlett* **2010**, 1589–1605; b) H. Bruns, M. Patil, J. Carreras, A. Vazquez, W. Thiel, R. Goddard, M. Alcarazo, *Angew. Chem.* **2010**, *122*, 3762–3766; *Angew. Chem. Int. Ed.* **2010**, *49*, 3680–3683; c) *Superbases for Organic Synthesis: Guanidines, Amidines, Phosphazenes and Related Organocatalysts* (Hrsg.: T. Ishikawa), Wiley, New York, **2009**; d) V. R. Chintareddy, K. Wadhwa, J. G. Verkade, *J. Org. Chem.* **2009**, *74*, 8118–8132; e) W. Su, S. Urgaonkar, P. A. McLaughlin, J. G. Verkade, *J. Am. Chem. Soc.* **2004**, *126*, 16433–16439; f) R. Schwesinger, *Nachr. Chem. Tech. Lab.* **1990**, *38*, 1214–1226; g) P. B. Kisanga, J. G. Verkade, R. Schwesinger, *J. Org. Chem.* **2000**, *65*, 5431–5432; h) J. S. Bandar, T. H. Lambert, *J. Am. Chem. Soc.* **2012**, *134*, 5552–5555; i) R. Lo, A. Singh, M. K. Kesharwani, B. Ganguly, *Chem. Commun.* **2012**, *48*, 5865–5867.
- [2] a) I. Kaljurand, I. A. Koppel, A. Kütt, E.-I. Rööm, T. Rodima, I. Koppel, M. Mishima, I. Leito, *J. Phys. Chem. A* **2007**, *111*, 1245–1250; b) B. Kovačević, Z. B. Maksić, *Chem. Commun.* **2006**, 1524–1526; c) R. Schwesinger, C. Hasenfratz, H. Schlemper, L. Walz, E.-M. Peters, K. Peters, H. G. von Schnerring, *Angew. Chem.* **1993**, *105*, 1420–1422; *Angew. Chem. Int. Ed. Engl.* **1993**, *32*, 1361–1363; d) V. Raab, E. Gauchenova, A. Merkulov, K. Harms, J. Sundermeyer, B. Kovačević, Z. B. Maksić, *J. Am. Chem. Soc.* **2005**, *127*, 15738–15743; e) R. Schwesinger, H. Schlemper, C. Hasenfratz, J. Willaredt, T. Dambacher, T. Breuer, C. Ottaway, M. Fletschinger, J. Boele, H. Fritz, D. Putzas, H. W. Rotter, F. G. Bordwell, A. V. Satish, G.-Z. Ji, E.-M. Peters, K. Peters, H. G. von Schnerring, L. Wake, *Liebigs Ann. Chem.* **1996**, 1055–1081.
- [3] a) J. G. Verkade, P. B. Kisanga, *Aldrichimica Acta* **2004**, *37*, 3–14; b) J. V. Kingston, J. G. Verkade, *Inorg. Chem. Commun.* **2005**, *8*, 643–646; c) J. G. Verkade, *Acc. Chem. Res.* **1993**, *26*, 483–489; d) siehe Lit. [1g].
- [4] a) I. Koppel, J. Koppel, I. Leito, L. Grehn, *J. Phys. Org. Chem.* **1996**, *9*, 265–268; b) R. Schwesinger, *Angew. Chem.* **1987**, *99*, 1209–1210; *Angew. Chem. Int. Ed. Engl.* **1987**, *26*, 1164–1165; c) R. Schwesinger, M. Mißfeldt, K. Peters, H. G. von Schnerring, *Angew. Chem.* **1987**, *99*, 1210–1212; *Angew. Chem. Int. Ed. Engl.* **1987**, *26*, 1165–1167.
- [5] a) T. Ishikawa, T. Isobe, *Chem. Eur. J.* **2003**, *9*, 552–557; b) V. Raab, J. Kipke, R. M. Gschwind, J. Sundermeyer, *Chem. Eur. J.* **2002**, *8*, 1682–1693; c) A. A. Kolomeitsev, I. A. Koppel, T. Rodima, J. Barten, E. Lork, G.-V. Rösenthaler, I. Kaljurand,

- A. Kütt, I. Koppel, V. Mäemets, I. Leito, *J. Am. Chem. Soc.* **2005**, 127, 17656–17666; d) V. Štrukil, I. Đilović, D. Matković-Čalović, J. Saame, I. Leito, P. Šket, J. Plavec, M. Eckert-Maksić, *New J. Chem.* **2012**, 36, 86–96.
- [6] a) D. A. Evans, J. M. Janey, N. Magomedov, J. S. Tedrow, *Angew. Chem.* **2001**, 113, 1936–1940; *Angew. Chem. Int. Ed.* **2001**, 40, 1884–1888; b) J. Shen, T. T. Nguyen, Y.-P. Goh, W. Ye, X. Fu, J. Xu, C.-H. Tan, *J. Am. Chem. Soc.* **2006**, 128, 13692–13693; c) K. Kobayashi, M. Ueno, Y. Kondo, *Chem. Commun.* **2006**, 3128–3130; d) S. Urgaonkar, M. Nagarajan, J. G. Verkade, *Org. Lett.* **2003**, 5, 815–818.
- [7] a) S. Boileau, N. Illy, *Prog. Polym. Sci.* **2011**, 36, 1132–1151; b) C. R. V. Reddy, B. M. Fetterly, J. G. Verkade, *Energy Fuels* **2007**, 21, 2466–2472.
- [8] I. Kaljurand, T. Rodima, A. Pihl, V. Mäemets, I. Leito, I. A. Koppel, M. Mishima, *J. Org. Chem.* **2003**, 68, 9988–9993.
- [9] E. P. L. Hunter, S. G. Lias, *J. Phys. Chem. Ref. Data* **1998**, 27, 413–656. Auch zugänglich via NIST Chemistry WebBook, NIST Standard Reference Database Number 69, <http://webbook.nist.gov/chemistry/>.
- [10] R. A. Kunetskiy, S. M. Polyakova, J. Vavřík, I. Císařová, J. Saame, E. R. Nerut, I. Koppel, I. A. Koppel, A. Kütt, I. Leito, I. M. Lyapkalo, *Chem. Eur. J.* **2012**, 18, 3621–3630.
- [11] Auch wenn die Basizität von KO*t*Bu in THF nicht bekannt ist, muss angenommen werden, dass es nicht in der Lage ist, die Basen **1a–g** irreversibel freizusetzen. Das Zusammenspiel der Ausfällung von KBF<sub>4</sub> und der Verdampfung von *t*BuOH verlagert jedoch das Gleichgewicht auf die Seite von **1**.
- [12]  $pK_a(\text{THF}) = b_0 + b_1 pK_a(\text{MeCN})$ ,  $b_0 = -5.4(7)$ ,  $b_1 = 0.93(3)$ ,  $R^2 = 0.991$ ,  $n = 11$ ,  $S = 0.45$ . Nur Basen mit sterisch abgeschirmtem Basizitätszentrum wurden gewählt. Dazu gehören drei Amidine, sieben Phosphazene und ein Protonenschwamm. Die  $pK_a$ - (THF)- und  $pK_a(\text{MeCN})$ -Werte wurden Lit. [5c, 8, 12a, 16] entnommen. Eine stark erweiterte Analyse von 77 Basen verschiedenster Eigenschaften und Geometrien ergab die folgenden Korrelationsparameter:  $b_0 = -4.4(4)$ ,  $b_1 = 0.90(2)$ ,  $R^2 = 0.963$ ,  $n = 77$ ,  $S = 1.01$ . Die aus dieser Analyse für **1** vorhergesagten  $pK_a(\text{MeCN})$ -Werte sind fast identisch.
- [13] Z. B. Maksić, B. Kovacević, R. Vianello, *Chem. Rev.* **2012**, 112, 5240–5270.
- [14] T. Rodima, I. Kaljurand, A. Pihl, V. Mäemets, I. Leito, I. A. Koppel, *J. Org. Chem.* **2002**, 67, 1873–1881.
- [15] P. von R. Schleyer, C. Maerker, A. Dransfeld, H. Jiao, N. J. R. van Eikema Hommes, *J. Am. Chem. Soc.* **1996**, 118, 6317–6318.
- [16] I. Kaljurand, A. Kütt, L. Sooväli, T. Rodima, V. Mäemets, I. Leito, I. A. Koppel, *J. Org. Chem.* **2005**, 70, 1019–1028.